

九州大学 正員 横木 武

学生員 林田祐雄

1. 諸君 弾塑性安定問題に対する既存研究では、いずれも演算上の難点から、特定の荷重状態および構造対象として限界荷重が算定されていきに過ぎず、未だ十分広汎な構造の骨組構造を網羅した弾塑性安定論を体系的に確立するまでは至っていない。そこで本研究は、任意の載荷条件からびくべく境界条件をもつ複雑な骨組構造に広く適用でき、かつ機械的な演算が可能な弾塑性安定問題の汎用解法の確立を企図したものである。すなはち、板構造のモデル化の一手法として提案された“Neumann plate analog”の概念を応用して、骨材と剛棒と弾塑性ヒンジとで構成される beam analog なるものに置き換えて本題の基礎式を導出し、その活用を図るものである。

2. 基礎式の説明 beam analog の特徴をもつものとする(図-1参照)。(1) 構造は重さがなく(変形しない)。(2) 荷重はヒンジ部に集中して作用する。(3) 弹塑性ヒンジの部材曲方向の寸法は零である。(4) 応力とひずみはヒンジ部のみ生じ、それらの値はヒンジ直近の両区間の平均値と解釈する。これより、剛棒(i+1)に関するモーメントの釣合式を得たると、次式が得られる。

$$V_{i+1} = (M_{i+1} - M_i)/s - N(w_{i+1} - w_i)/s \quad \dots \dots \dots (1)$$

ここで、 V_{i+1} : 刚棒(i+1)のせん断力 M : ヒンジ i におけるモーメント φ : ヒンジ直中心とすす区間の平行直角距離、 s : 刚棒の長さ、 N : ヒンジ i のたわみ N 軸力。

また、ヒンジ i における力の釣合式 $V_{i+1} - V_{i+1} = Q_i$ (但し、 Q_i : ヒンジ i に作用する荷重) でありこれを式(1)に代入すれば、 $M_{i+1} - M_i + N(w_{i+1} - w_i) = -sQ_i \quad \dots \dots \dots (2)$

(1) 弹性状態 (2) 第1弾塑性状態 (3) 第2弾塑性状態

一方、ヒンジ i のひずみは $\epsilon_i = (w_{i+1} - w_{i-1})/s$ 。ここで、 w_{i+1} : ヒンジ i における(i+1)区間の軸方向変形量。 $w_{i-1} = (w_i - w_{i-1})/s$ 、 $w_{i+1} = (w_{i+1} - w_i)/s$ であるから、前回と同様に式(2)を

$$\epsilon_i = (w_{i+1} - 2w_i + w_{i-1})/s^2 = -\phi_i z' \quad \dots \dots \dots (3)$$

ここで、 $\phi_i = -(w_{i+1} - 2w_i + w_{i-1})/s$ (曲率)。z': 断面の中立軸からの位置。

ϕ_i の関係として、Jedek の理想塑性本を仮定する。しかるとき応力 $\sigma(z)$ の弹性域と塑性域は $\sigma(z) = E(w_{i+1} - 2w_i + w_{i-1})/s$ で、塑性域は $\sigma(z) = \pm \sigma_y$ である(但し、E: タング率、 σ_y : 弾性限界)。部材断面を矩形($A = b \times h$)とするとき、各点力の総和(図-2参照)のモーメント M_i とたわみ w_i との関係が、 $M_i = -b \int_{-h/2}^{h/2} \sigma(z) dz$ 、 $N = -b \int_{-h/2}^{h/2} \sigma(z) dz$ の 2 式から次のように算定される(但し、z: 断面の中心軸からの距離)。なお、第1・第2弾塑性状態における M_i の曲線は非線形となるゆえ、エネルギー等価条件を満たす2本の近似直線(図-3参照)に置換し、演算の簡略化を行なった。

$$m_i = \sigma_i - \sigma_y (y_{i+1} - 2y_i + y_{i-1}) \quad \dots \dots \dots (4)$$

但し、

$$\beta_i = \begin{cases} 0 \\ \pm (1 - 1/\kappa'_i) m_i \\ \pm \{(1 - \kappa_i/\kappa'_i) m_{ii} + (\kappa_i/\kappa'_i)(1 - 1/\kappa'_i) m_i\} \end{cases}$$

$$\beta_i = \begin{cases} n^2/6^2 & \cdots [\text{ヒンジが弹性状態}] \\ n^2/(K_i d^2) & \cdots [\text{第1弹性状態}] \\ n^2/(K'_i d^2) & \cdots [\text{第2弹性状態}] \end{cases}$$

ここで、 $m_i = M_i/Nh$, m_i, m_{ii}, m_{ii} : 弹性状態第1・第2弹性状態の限界モーメント M_i, M_{ii}, M_{ii} を無次元化 ($Nh/2$ 倍) したもの, $m_i = (\kappa_i/\kappa'_i)/6$, $m_{ii} = (20/\kappa_i + 1)m_i$, $m_{ii} = (\kappa_i/\kappa'_i)(1 - 6/\kappa_i^2)/4$. κ_i, κ'_i : 第1・第2近似直線の勾配を表す, エネルギー平衡条件により次のよう表現される。

$$\begin{aligned} \kappa_i &= (m_{ii}^2 - m_{ii}^2 + 2m_i/3)/(m_{ii} - m_i)^2, \quad \kappa'_i = \kappa_i + 1 \\ \kappa'_i &= \sqrt{m_{ii}^2 - m_i^2}/\kappa_i(m_{ii} - m_i)^2 + 2m_i/3 \\ m_i' &= m_i \sqrt{1 - m_i/m_{ii}} / (3\sqrt{3}\kappa_i^2(1 - 6/\kappa_i^2)(4\kappa_i^2)} / (m_{ii} - m_i)^2 \\ \kappa_i' &= \kappa_i + \kappa'_i \end{aligned}$$

$y_i = W_i/h$, $\kappa_i = N/A$, $\omega = \sqrt{\kappa_i/E}$, $s = l/n$, λ : 縦長比, l : 部材長, n : 分割数, κ_i の複号: モーメントの正負値と対応する (すなはち第1・第2弹性状態の場合にはモーメントの正負値反転する必要がある)。

以上より、式(2)を無次元化して次式。

$$M_{ii} - 2m_i + m_{ii} - (y_{ii} - y_i + y_{i+1}) = -\frac{\sqrt{3}\lambda}{6n} \cdot \frac{Q_i}{N}$$

に式(4)を代入すれば本論の基礎式が得られ、次式とくわしくある。

$$A_{ii-2} \cdot y_{i-2} + A_{ii-1} \cdot y_{i-1} + A_{ii} \cdot y_i + A_{ii+1} \cdot y_{i+1} + A_{ii+2} \cdot y_{i+2} = B_i$$

$$\left. \begin{aligned} \text{但し, } A_{ii-2} &= -\beta_{ii-1}, \quad A_{ii-1} = 2(\beta_{ii} + \beta_i) - 1, \\ A_i &= -(1 + 4\beta_i + \beta_{ii}) + 2, \quad A_{ii+1} = 2(\beta_i + \beta_{ii+1}) - 1 \\ A_{ii+2} &= -\beta_{ii+1}, \quad B_i = -\frac{\sqrt{3}\lambda}{6n} \cdot \frac{Q_i}{N} - (c_{ii-2} + c_{ii-1} + \beta_{ii}) \end{aligned} \right\} \quad (5)$$

式(5)を各ヒンジ点について求め、それらを連立で解くことにより、はりの弹性安定に対する限界荷重が算定されることとなるが、その演算プログラムをフローチャートに示せば図-4のようである。

3精度吟味 部材の分割数 n と精度の関係を3つの具体例につけて検討した結果、 $n=20$ 程度で十分な精度が得られることが確かめられた。なお、(1)の場合は荷重 1 個を求めるのに要する演算時間は FACOM 230-60 を用うる場合、僅か数秒である。次に、単純ばかりに軸力の他に(1)中央集中荷重(2)満載等分布荷重を受ける場合について、Jezek の厳密解と本法による結果とを比較すれば図-5に示すとおりである。図より、本法が厳密解と比較的よく一致するといがやかり本法の妥当性が十分証明される。

4結語 本論文は、beam analog により部材をモデル化することによつて、一般的な弾性力学による構造力学的基本な概念と力学的な内容の把握から説明すると、可操作性をもつとともに、その精度と吟味検討して、かかみ手法が実用上十分妥当であることを明確にした。このことは連續ばかりやラーメン等の骨組構造ばかりと、数学的取扱いの複雑な板構造や斜構造板(ひび構造など)極めて複雑な構造式の弾性安定問題の基礎式が比較的簡明に導きうるとともに、本論文の統一化された汎用解法の確立に寄与すると大きな意義であると確信する。

(参考文献) 1) A. Ang; The development of a distribution procedure for the analysis of continuous rectangular plates, American Civil Engineering Studies - Structure Research Series Report 176, May 1959.

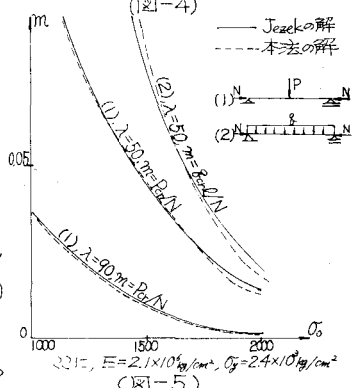
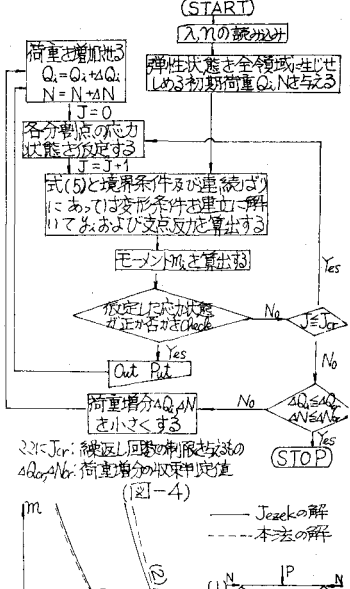


図-5